

福井大学工学部 正会員 入江恒剛

荒井亮彦

(株)新井組

人見英一

石墨建設(株)

干利次進

比抵抗や縱波伝播速度の測定結果から、密度や变形に関する

地盤物性定数を推定するための基礎実験を行った。試料は表-1の如き示す5種類とする。通常の室内実験用試験装置により、含水状態を変した供試体を作成し、含水比、密度、一軸圧縮強度、变形係数、比抵抗、縱波伝播速度を測定した。含水比と比表面積で除した、土粒子表面水膜厚 d を算出し表-1に示す。結果を各試料ごとに、乾燥密度をパラメータとして整理した例が図-1～4である。この場合の物性定数と比抵抗、縱波伝播速度との相関を示す。図-5～8は水膜厚 d をパラメータとして整理した結果の一例である。一般に水膜厚 d をパラメータとする方が、物性定数と比抵抗などに良い相間がみられるようである。図-9～20は5種類の試料についての結果を示す。

表-1 試料物性

| 試料 | 粘土分 (%) | シルト分 (%) | 砂分 (%) | 液性限界 (%) | 塑性限界 (%) | 比表面積 (m^2/g) |
|----|---------|----------|--------|----------|----------|------------------|
| A | 18.0 | 23.5 | 58.5 | 17.9 | 12.9 | 6.75 |
| B | 20.9 | 28.6 | 50.5 | 22.4 | 19.4 | 11.29 |
| C | 19.0 | 30.6 | 55.4 | 29.2 | 18.9 | 9.56 |
| D | 28.0 | 33.3 | 32.7 | 38.2 | 26.3 | 15.87 |
| E | 32.0 | 26.2 | 29.8 | 38.8 | 19.9 | 13.87 |

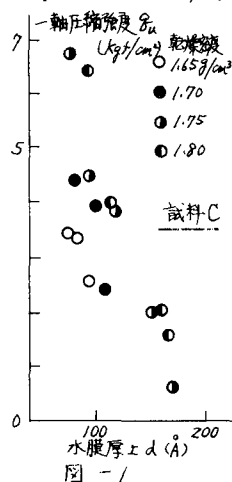


図-1

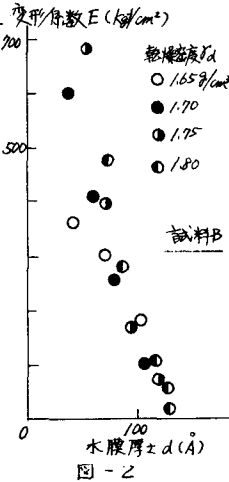


図-2

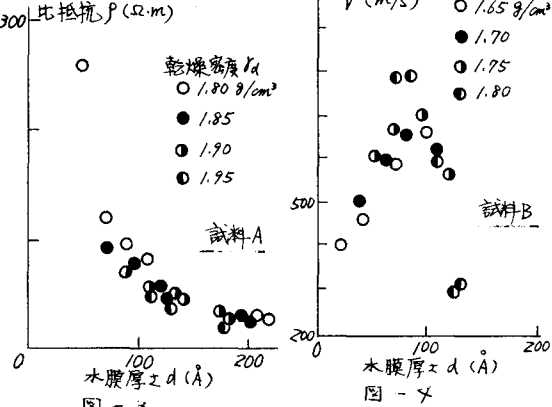


図-3

図-4

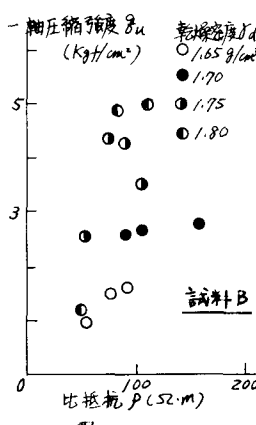


図-5

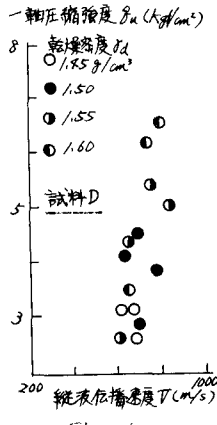


図-6

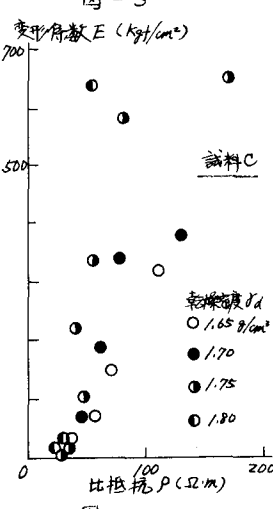


図-7

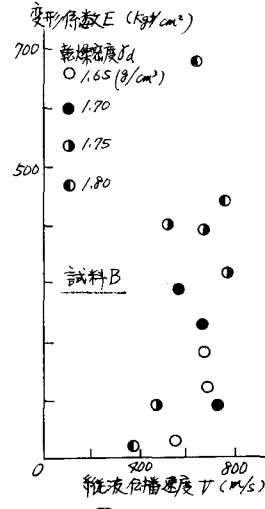


図-8

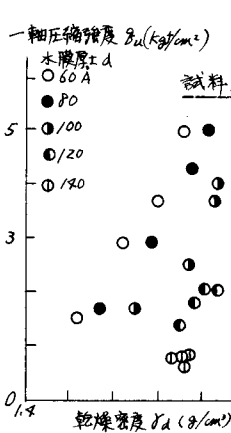


図 - 9

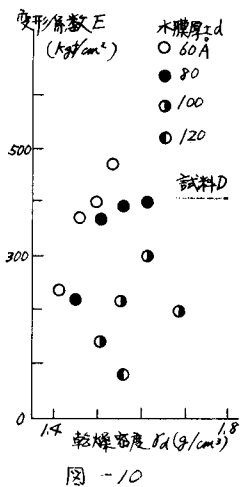


図 - 10

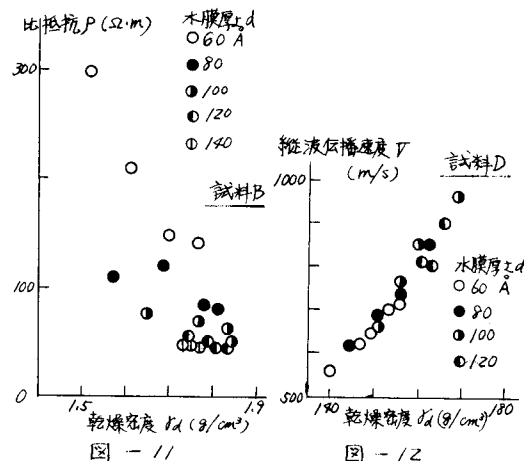


図 - 11

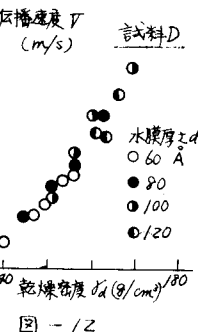


図 - 12

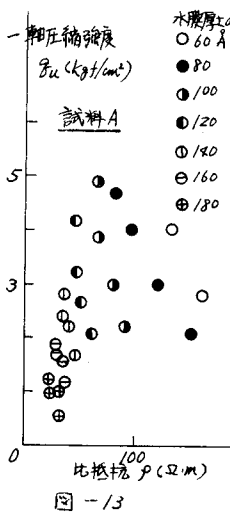


図 - 13

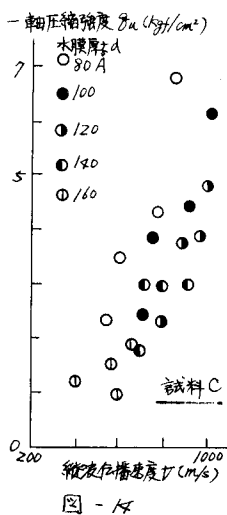


図 - 14

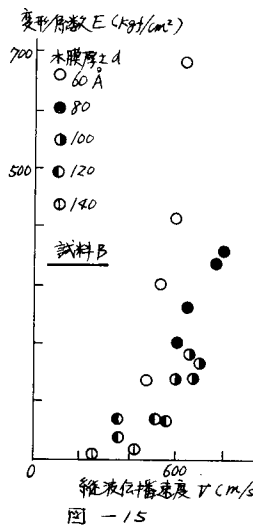


図 - 15

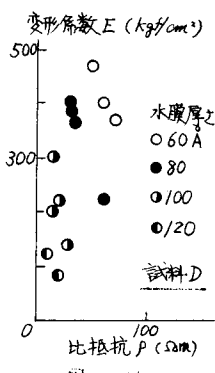


図 - 16

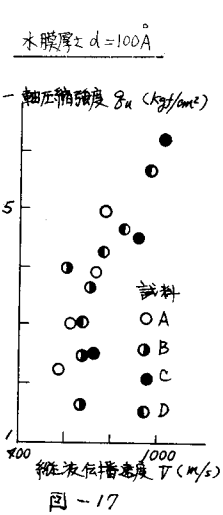


図 - 17

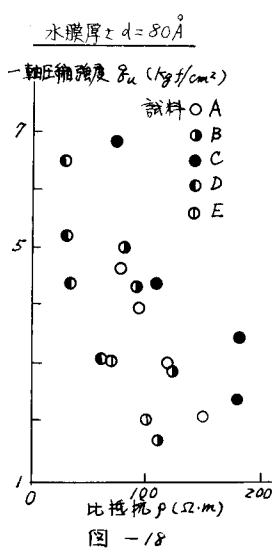


図 - 18

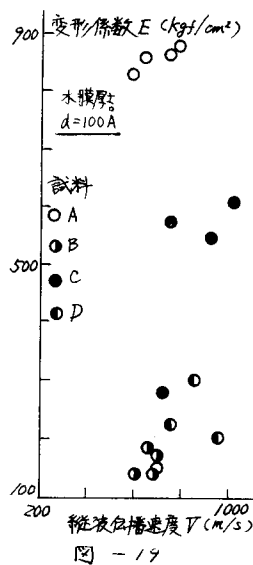


図 - 19

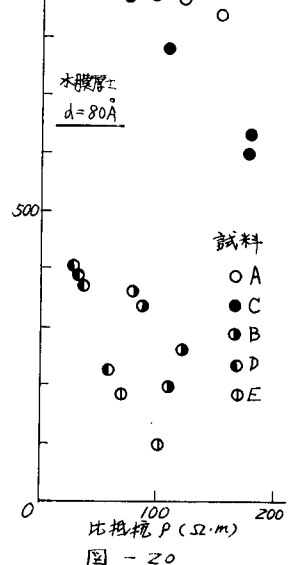


図 - 20